

文章编号: 0253-2409(2005)05-0622-04

SiO₂ 负载磷钨杂多酸催化的甲苯与乙酸酐酰化反应

胡拖平^{1,2}, 秦张峰¹, 王建国¹

(1. 中国科学院山西煤炭化学研究所 煤转化国家重点实验室, 山西 太原 030001; 2. 中国科学院研究生院, 北京 100039)

摘要:以 SiO₂ 负载 12-磷钨酸 (PW) 为催化剂, 对甲苯与乙酸酐 (AA) 的酰化反应进行了研究。采用 XRD、BET、TGA 和 NH₃-TPD 等对 PW/SiO₂ 催化剂进行了表征。结果表明, PW 负载量及焙烧温度对 PW/SiO₂ 的酸性、PW 在 SiO₂ 上的分散状态以及酰化催化活性有明显的影响。PW 的负载量 40% (按质量计)、焙烧温度 300 °C 制备的 PW (40%) / SiO₂ 催化剂, 其 PW 在载体表面的分散度好, 酸量及酸强度适宜, 对甲苯与乙酸酐的酰化反应具有较高的催化活性。在 130 °C, 催化剂/乙酸酐 (质量比) 2.2 时, 催化反应效果最佳。

关键词: 杂多酸; 12-磷钨酸; 二氧化硅; 甲苯; 乙酸酐; 酰化反应

中图分类号: TQ244.2 文献标识码: A

芳酮是重要的有机合成中间体, 通常是在 Lewis 酸金属氯化物催化作用下由 Friedel-Crafts 酰化反应制得。催化剂在反应中与酰化剂及羰基产物形成配合物, 增加了催化剂用量, 产生大量配合物水解废液。采用固体酸催化剂^[1,2], 可以明显减轻污染。作者研究了分子筛催化甲苯与乙酸酐的酰基化反应^[3], 由于分子筛催化剂的使用成本较高, 有必要研究与开发其他类型的固体酸催化剂。

杂多酸有较强的酸性, 在有机介质中, 杂多酸的摩尔催化活性达硫酸的 100 倍 ~ 1000 倍^[4]。杂多酸相对稳定、无毒和易处理, 不产生硫化、氯化 and 硝化等副反应。作为新型催化材料已在炼油、化工领域中显示出广阔的应用前景; 在烯烃水合、烷基化及异构化等反应中获得成功的应用^[5,6]。杂多酸的比表面积 (< 10 m²/g) 很小, 用作固体催化剂需要将其负载化, 增大其比表面积, 使活性组分得到充分利用, SiO₂ 是最理想的载体之一^[7,8]。

本文对 SiO₂ 负载 12-磷钨酸 (PW) 催化剂的织构性质、热稳定性以及酸性进行了表征。并在该催化剂上对甲苯 (T) 与乙酸酐 (AA) 酰基化反应制甲基苯乙酮 (MAP) 的催化活性进行了详细的研究。

1 实验部分

1.1 试剂及原料 催化剂制备使用 SiO₂ (分析纯)、磷钨酸 (分析纯)。催化反应表征使用的试剂为甲苯 (分析纯 99.5%)、乙酸酐 (分析纯 98.5%)。

1.2 催化剂制备 SiO₂ 负载 12-磷钨酸采用饱和浸渍法。首先 SiO₂ 用盐酸浸泡数小时, 然后去离子水洗净, 550 °C 焙烧 3 h; 12-磷钨酸 60 °C 烘干 1 h, 含 10 个 ~ 15 个结晶水^[9,10]; 载体 SiO₂ 在 PW 的无水甲醇溶液浸渍 10 h, 100 °C ~ 120 °C 烘 2.0 h ~ 3.0 h, 100 °C ~ 500 °C 焙烧 3 h。

1.3 催化剂表征 样品的比表面积和孔径由 Micromeritics Tristar 3000 物理吸附分析仪在液氮温度下测定, N₂ 为吸附质。样品测量前在 120 °C、10⁻⁵ Pa 下抽真空预处理 3 h。

XRD 表征由 Dmax-rA 型 X 射线粉末衍射仪进行。使用 CuKα 射线, 管电压 40 kV, 管电流 20 mA, 在 5° ~ 40° 以 4°/min 扫描。

NH₃-TPD 实验在 TP-5000 吸附仪上进行。催化剂试样为 250 μm ~ 420 μm, 装量 50 mg, N₂ 作载气, 流量 40 mL/min。N₂ 吹扫, 以 10 °C/min ~ 15 °C/min 的速率升至 550 °C, 活化 2 h。降至 120 °C, 脉冲式吸附氨至饱和, 吹扫除去氨, 开始进行程序升温脱附。升温速率 10 °C/min, 最高温度 700 °C。热重分析使用 PE-TGA7 型热分析仪, 空气作载气, 升温速率 10 °C/min, 升温至 600 °C。

1.4 反应活性评价 催化剂的反应活性评价在带有搅拌的 250 mL 高压釜中进行。将预先活化好的催化剂与一定量的甲苯和乙酸酐 (摩尔比为 20:1) 加入高压釜中, 密封后加热到指定反应温度, 每隔一定时间取样分析。产物采用 GC-14B 气相色谱仪分析,

收稿日期: 2004-12-27; 修回日期: 2005-04-07。

基金项目: 国家自然科学基金 (20473110); 国家重点基础研究发展规划 (973 计划, G2000048010)。

联系作者: 王建国, 研究员, 主要从事多相催化反应新材料与新技术研究。E-mail: icjgw@sxicc.ac.cn。

作者简介: 胡拖平 (1969-), 男, 山西兴县人, 博士研究生, 主要从事多相催化和精细化学方面的研究。

气化室 180 °C ,OV-101(60 m × 0.32 mm × 0.25 μm) 毛细管色谱柱,柱温 170 °C ,氩气载气,载气流量 15.0 mL/min ,FID 检测器 检测室 200 °C。

2 结果与讨论

2.1 催化剂的表征

2.1.1 磷钨酸的 TGA 表征 图 1 是母体 PW 的 TGA 图。其中低于 100 °C 处对应的峰,可归于物理吸附水的脱除;100 °C ~ 280 °C 出现的峰可归于 PW 结构水的脱除,每个 Keggin 单元约失去 6 分子水,对应于 H₃W₁₂O₄₀ × 6H₂O 的脱水;470 °C 处出现的峰,对应于酸质子的失去(1.5 分子水),Keggin 结构已被破坏,PW 开始分解^[11]。

2.1.2 PW/SiO₂ 催化剂的比表面积和孔结构 PW/SiO₂ 催化剂的比表面积、平均孔径及孔容见表 1。由表 1 可见,磷钨酸的比表面积仅 6.2 m²/g,而 PW 负载在 SiO₂ 载体上时,比表面积明显增加。PW 的负载量 20% 时,PW/SiO₂ 比表面积最大;负载量由 20% 增加到 50% 时,比表面积由 70.9 m²/g 减到 32.6 m²/g,孔容由 0.14 cm³/g 降到 0.04 cm³/g,孔径由 8.1 nm 减小到 4.6 nm。PW 负载量为 40% 时,100 °C ~ 300 °C 对 PW/SiO₂ 的比表面积和孔结构影响很小,500 °C 焙烧,比表面积减小。这说明

表 1 不同杂多酸催化剂的比表面积、平均孔径和孔容

Table 1 BET surface area and porosity of PW/SiO₂ catalysts

Catalyst	<i>t</i> /°C	<i>A</i> /(m ² ·g ⁻¹)	<i>v</i> /(cm ³ ·g ⁻¹)	<i>d</i> /nm
H ₃ PW ₁₂ O ₄₀		6.2	0.01	9.4
SiO ₂		107.8	0.19	7.1
PW(20%)/SiO ₂	300	70.9	0.14	8.1
PW(35%)/SiO ₂	300	41.2	0.06	6.2
PW(50%)/SiO ₂	300	32.6	0.04	4.6
PW(40%)/SiO ₂	100	35.7	0.04	4.7
PW(40%)/SiO ₂	300	35.8	0.04	4.3
PW(40%)/SiO ₂	500	25.7	0.04	6.3

PW/SiO₂ 在 300 °C 以下有较好的热稳定性。

2.1.3 PW/SiO₂ 的 NH₃-TPD 图 2 是不同负载量 PW/SiO₂(300 °C 焙烧)的 NH₃-TPD 谱图。由图 2 可知,谱图有弱酸位和强酸位两个峰。总酸量随着负载量从 20% 增加到 40% 而逐渐增加(主要是强酸位的酸量增加)。同时 PW 进一步扩散到 SiO₂ 的孔内,最终由单层分散变为多层分散或堆积状态。

图 3 是不同焙烧温度的 PW(40%)/SiO₂ 的 NH₃-TPD 谱图。分别在 170 °C 和 580 °C 左右出现弱强两个峰,而且随着焙烧温度的升高,总趋势是酸量增加。随着焙烧温度的升高,杂多酸在表面发生迁移,有利于其在 SiO₂ 表面上的分散。对于弱酸位来说,在 450 °C 焙烧时酸量最多;对于强酸位来说,在

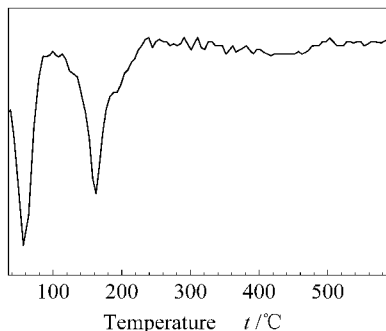


图 1 H₃PW₁₂O₄₀ 水合物的 TGA 谱图

Figure 1 TGA of H₃PW₁₂O₄₀ hydrate

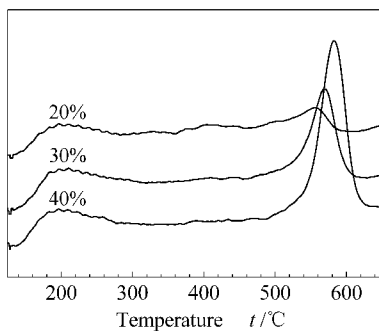


图 2 300 °C 焙烧不同负载量的 PW/SiO₂ NH₃-TPD 谱图

Figure 2 NH₃-TPD profiles of PW/SiO₂ calcined at 300 °C with different PW loadings

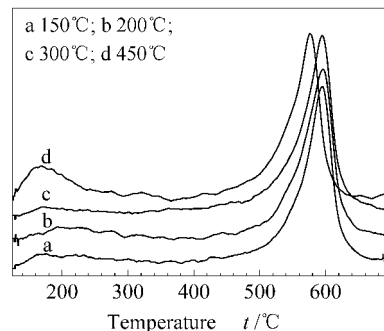


图 3 不同温度焙烧的 PW(40%)/SiO₂ NH₃-TPD 谱图

Figure 3 NH₃-TPD profiles of PW(40%)/SiO₂ calcined at different temperatures

150 °C ~ 300 °C 焙烧时酸强度基本不变,而焙烧温度为 450 °C 时酸强度有所减弱。

2.1.4 PW/SiO₂ 的 XRD 表征 图 4 为 300 °C 焙烧不同负载量 PW/SiO₂ 的 XRD 谱图。由图 4 可知,随着负载量的增加, SiO₂ 在 26° 的衍射峰不明显;PW 在 SiO₂ 上的晶相衍射峰逐渐变强,当负载量超过 35% 后 PW 的晶相衍射峰明显。这说明 PW 在 SiO₂ 的分

散效果越来越差,出现了多层分散。考虑到 PW 从载体上部分溶脱,本试验选取 PW 负载量为 40%。

图 5 是不同焙烧温度 PW(40%)/SiO₂ 的 XRD 谱图。其中 PW 衍射峰的相对强度反映了 PW 在 SiO₂ 上的分散情况。虽然各个样品的 PW 负载量相同,但是它们的衍射峰相差很大。随着焙烧温度的增加,PW 在 SiO₂ 载体上的晶相衍射峰逐渐变小。这说

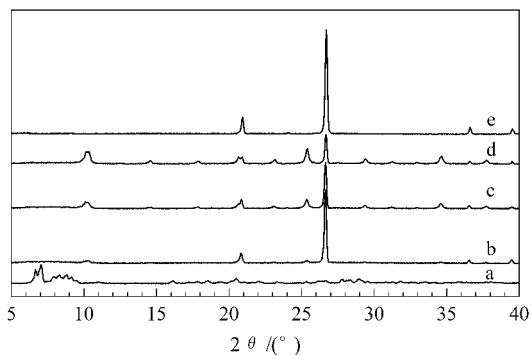


图 4 不同 PW 负载量 PW/SiO₂ XRD 谱图

Figure 4 XRD patterns of PW/SiO₂ calcined at 300 °C with different PW loadings

a PW; b PW(20%)/SiO₂; c PW(35%)/SiO₂; d PW(50%)/SiO₂; e SiO₂

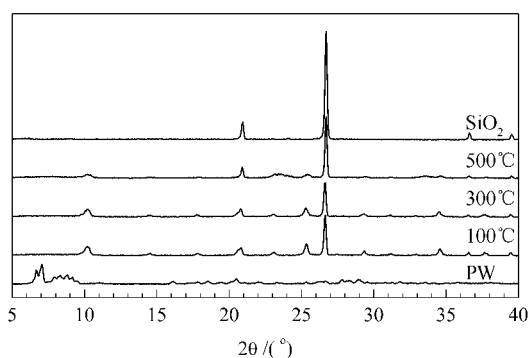


图 5 不同温度焙烧的 PW(40%)/SiO₂ XRD 谱图

Figure 5 XRD patterns of PW(40%)/SiO₂ calcined at different temperatures

明焙烧温度的升高,促进了 PW 在 SiO₂ 上的分散。

2.2 酰化反应活性评价 实验条件均为 130 °C、5 h、T/AA (molar ratio) = 20。

2.2.1 PW 负载量对 MAP 产率的影响 图 6 是 PW

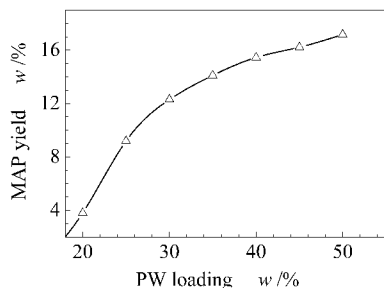


图 6 PW 负载量对 MAP 产率的影响

Figure 6 Effect of PW loading on the MAP yield of toluene acylation catalyst/AA (quantity ratio) = 0.8

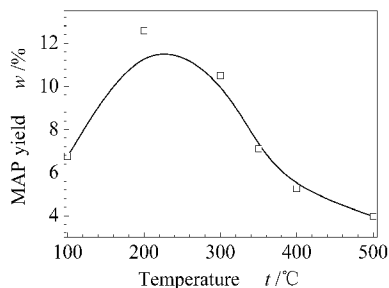


图 7 PW(40%)/SiO₂ 的焙烧温度对 MAP 产率的影响

Figure 7 Effect of the calcination temperature on the MAP yield of toluene acylation

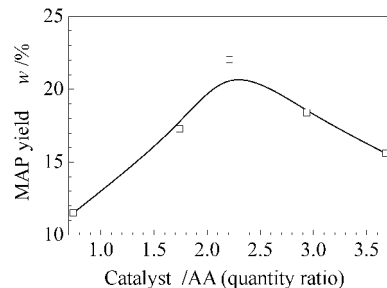


图 8 PW(40%)/SiO₂ 催化剂用量对 MAP 产率的影响

Figure 8 Effect of catalyst amounts used on the MAP yield

负载量对 MAP 产率的影响。由图 6 可以看出,负载量 20% 时,MAP 产率很低。负载量低时杂多酸与载体的作用,减弱了酸性,还易被载体或反应物中的杂质毒化。随着负载量的增加,产率逐渐增加,当负载量超过一定量,催化活性的提高趋于平缓。

图 2 表明催化剂的酸性随着负载量的增加而增强,而 MAP 产率随 PW 负载量提高而提高,这说明甲苯与乙酸酐的酰化需在较强的酸性下进行。图 4 则显示 PW 负载量在 35% 时,PW 在载体上的分散度仍然较好。反应结果也表明,PW 负载量超过 40% 后,MAP 产率的增加趋于平缓。因此 PW/SiO₂ 催化剂中 PW 负载量控制在 40% 较为合适。

2.2.2 焙烧温度对 MAP 产率的影响 图 7 是 PW(40%)/SiO₂ 催化剂的焙烧温度对 MAP 产率的影响。200 °C ~ 300 °C 焙烧,催化剂活性最佳。由图 1 可知,当焙烧超过 280 °C,每个 Keggin 单元中约失去 6 分子的水,PW 处于中强酸性,焙烧超过 300 °C,酸强度增强加快催化剂失活,杂多酸部分分解。图 3 显示 300 °C 焙烧的催化剂酸量适中,适宜甲苯与乙酸酐的酰化反应进行。图 5 显示 300 °C 焙烧的催化剂,PW 在载体 SiO₂ 上的分散最好。这表明,PW(40%)/SiO₂ 催化剂适宜焙烧温度为 300 °C。

2.2.3 催化剂添加量对 MAP 产率的影响 由图 8 可知,MAP 产率随着催化剂添加量的增加而逐渐增加,当催化剂与乙酸酐质量比为 2.2 时,MAP 产率达到最高,随后 MAP 产率随着催化剂添加量增加而降低。这可能是由于催化剂添加量过多,酸位数量增多,而反应物浓度相对减少,反应速率加快,催化剂孔内发生二级反应或更复杂的反应,致使催化剂易失活,降低了总的催化活性。

参考文献:

- [1] CORMA A. Inorganic solid acids and their use in acid-catalyzed hydrocarbon reactions[J]. Chem Rev ,1995 ,**95**(3):559-614.
- [2] GAARE K , AKPORIAYE D. Modified zeolites as catalysts in the Friedel-Crafts acylation[J]. J Mol Catal A ,1996 ,**109**(2):177-187.
- [3] 胡拖平 秦张峰 王建国. H β 分子筛催化的甲苯与乙酸酐(AA)酰化反应研究[J]. 燃料化学学报,2003 ,**31**(6):624-627.
(HU Tuo-ping , QIN Zhang-feng , WANG Jian-guo. Acylation of toluene with acetic anhydride over H β zeolite[J]. Journal of Fuel Chemistry and Technology ,2003 ,**31**(6):624-627.)
- [4] KOZHEVNIKOV I V. Catalysis by heteropoly acids and multicomponent polyoxometalates in liquid-phase reactions[J]. Chem Rev ,1998 ,**98**(1):171-198.
- [5] OKUHARA T , MIZUNO N , MISONO M. Catalytic chemistry of heteropoly compound[A]. In : ELEY D , HAAG W , GATES B , ed. Advances in catalysis , V. 4[M]. New York : Elsevier , 1996. 113-252.
- [6] 温朗友 沈师孔 闵恩泽. 二氧化硅负载磷钨杂多酸催化剂的表征及催化性质[J]. 催化学报,2000 ,**21**(6):524-528.
(WEN Lang-you , SHEN Shi-kong , MIN En-ze. Physicochemical and catalytic properties of 12-phosphotungstic acid supported on different silica[J]. J Catal China ,2000 ,**21**(6):524-528.)
- [7] PIZZIO L R , CACERES C V , BLANCO M N. Acid catalysts prepared by impregnation of tungstophosphoric acid solutions on different supports[J]. Appl Catal A ,1998 ,**167**(2):283-294.
- [8] VAZQUEZ P G , BLANCO M N , CACERES C V. Catalysts based on supported 12-molybdophosphoric acid[J]. Catal Lett ,1999 ,**60**(4):205-215.
- [9] 赵福军 温朗友 闵恩泽. HRP-12 催化剂上苯与直链烯烃的烷基化反应: I 本征反应动力学研究[J]. 燃料化学学报,2004 ,**32**(5):636-640.
(ZHAO Fu-jun , WEN Lang-you , MIN En-ze. Benzene alkylation with linear olefin HRP-12 supported heteropolyacid catalyst : I Study on intrinsic kinetics[J]. Journal of Fuel Chemistry and Technology ,2004 ,**32**(5):636-640.)
- [10] 赵福军 温朗友 闵恩泽. HRP-12 催化剂上苯与直链烯烃的烷基化反应: II 失活动力学研究[J]. 燃料化学学报,2004 ,**32**(5):573-578.
(ZHAO Fu-jun , WEN Lang-you , MIN En-ze. Benzene alkylation with linear olefin HRP-12 supported heteropolyacid catalyst : II Study on deactivation kinetic[J]. Journal of Fuel Chemistry and Technology ,2004 ,**32**(5):573-578.)
- [11] MOFFAT J B. Metal-oxygen clusters : The surface and catalytic properties of heteropoly oxometalates (Fundamental and Applied Catalysis) [M]. New York : Kluwer Academic Publishers ,2002. 204-208.

Friedel-Crafts acylation of toluene with acetic anhydride catalysed by H₃PW₁₂O₄₀/SiO₂

HU Tuo-ping^{1,2} , QIN Zhang-feng¹ , WANG Jian-guo¹

(1. State Key Laboratory of Coal Conversion , Institute of Coal Chemistry , Chinese Academy of Sciences , Taiyuan 030001 , China ;

2. Graduate School of the Chinese Academy of Sciences , Beijing 100039 , China)

Abstract : The Friedel-Crafts acylation of toluene with acetic anhydride to methylacetophone in liquid phase with silica-supported 12-phosphotungstic acid (PW/SiO₂) as catalyst were investigated. PW/SiO₂ catalysts prepared with different calcination temperatures and PW loadings were characterized by X-ray diffraction (XRD) , thermogravimetric analysis (TGA) and NH₃ temperature-programmed desorption (NH₃-TPD). The effects of catalyst composition , pretreatment and reaction conditions on the reaction behaviour were examined. The results showed that the PW loadings and calcination temperatures have significant influences on the acidity , PW dispersion and catalytic activity of PW/SiO₂ ; the catalyst calcined at 300 °C with a PW loading of 40% exhibits the best catalytic performance. For the acylation of toluene with acetic anhydride over PW(40%)/SiO₂ at 130 °C , the highest methylacetophone yield was achieved with the weight ratio of catalyst to acetic anhydride being 2. 2.

Key words : acylation ; toluene ; acetic anhydride ; heteropoly acid (HPA) ; phosphotungstic acid (PW) ; SiO₂ ; Friedel-Crafts reaction

Foundation item : National Natural Science Foundation of China (20473110) ; Major State Basic Research Development Program of China (973 Program , G2000048010).

Corresponding author : WANG Jian-guo , Tel : 0351-4046092 ; Fax : 0341-4041153 ; E-mail : iccgw@sxicc. ac. cn.

Author introduction : HU Tuo-ping (1969-) , male , Ph. D. student , engaged in heterogeneous catalysis and fine chemistry.